

京都大学工学部

正員 岩垣雄一

大阪府立工業高等専門学校

正員 平山秀夫

1. はしがき: 着者らは、ここ数年来、重複波動中ににおける底質の浮遊機構を解明するため、種々の検討をしてきている。これまですでに、沈降速度を有する單一粒子の重複波動中での運動を実験的に調べ、その運動が大体的表示された運動理論によってどの程度説明されうるかを検討するため、差分法を用いて理論軌跡などを算出した。ここでは、重複波動中における單一粒子の速度や軌跡を解析的に求めて、従来の差分法による結果や実験と比較し、解析的方法の適合性を検討する。

2. 基礎理論: いま、單一粒子の運動を $x-z$ 平面での 2 次元運動と考えて、時刻 $t=0$ における位置を (x_0, z_0) を表わし、 $t=t$ における水平および鉛直方向のテクランジ速度をそれぞれ $U(x_0, z_0, t)$ および $W(x_0, z_0, t)$ とすれば、時刻 $t=t$ におけるこの粒子の位置 (x, z) は次式のように表わされる。

$$\left. \begin{aligned} x &= x_0 + \int_0^t U(x_0, z_0, t) dt \\ z &= z_0 + \int_0^t W(x_0, z_0, t) dt \end{aligned} \right\} \quad (1)$$

ここで、 $\Delta x = x - x_0$ および $\Delta z = z - z_0$ とおれば、

$$\Delta x = \int_0^t U(x_0, z_0, t) dt, \quad \Delta z = \int_0^t W(x_0, z_0, t) dt \quad (2)$$

となる。さて、單一粒子が重複波動中で運動する場合、水平方向には、水粒子の水平速度成分で、鉛直方向には水粒子の鉛直速度と單一粒子の静水中での沈降速度との和で運動すると仮定すれば、 $t=t$ で位置 (x, z) に達した單一粒子のテクランジ速度成分 $U(x, z, t)$ と $W(x, z, t)$ は、流体場のオイラー流速成分 $u(x, z)$ と $w(x, z)$ や静水圧式である。

$$\left. \begin{aligned} U(x, z, t) &= u(x_0 + \Delta x, z_0 + \Delta z, t) \\ W(x, z, t) &= w(x_0 + \Delta x, z_0 + \Delta z, t) + w_j \end{aligned} \right\} \quad (3)$$

の式(3)の右辺を Taylor 展開すれば、

$$\left. \begin{aligned} U &= u(x_0, z_0, t) + \Delta x \frac{\partial u(x_0, z_0, t)}{\partial x} + \Delta z \frac{\partial u(x_0, z_0, t)}{\partial z} + \dots \\ W &= w_j + w(x_0, z_0, t) + \Delta x \frac{\partial w(x_0, z_0, t)}{\partial x} + \Delta z \frac{\partial w(x_0, z_0, t)}{\partial z} + \dots \end{aligned} \right\} \quad (4)$$

$$\left. \begin{aligned} u &= \epsilon u_1 + \epsilon^2 u_2 + \epsilon^3 u_3 + \dots \\ w &= \epsilon w_1 + \epsilon^2 w_2 + \epsilon^3 w_3 + \dots \\ D &= D_0 + \epsilon D_1 + \epsilon^2 D_2 + \dots \\ W &= W_0 + \epsilon W_1 + \epsilon^2 W_2 + \dots \end{aligned} \right\} \quad (5)$$

のように仮定し、式(5)と(2)の関係を式(4)に代入して、 ϵ の同じべき数の項にかかる係数を整理すれば、結局、 $U(x, z, t)$ および $W(x, z, t)$ は次式のようになる。

$$\left. \begin{aligned} U &= \epsilon \left[u_1 + \frac{\partial u_1}{\partial x} \int_0^t w_j dt + \epsilon^2 \left[u_2 + \frac{\partial u_2}{\partial x} \int_0^t u_1 + \frac{\partial u_1}{\partial z} \int_0^t w_j dt \right] dt \right. \\ &\quad \left. + \frac{\partial u_1}{\partial z} \int_0^t w_j dt + \frac{\partial u_1}{\partial z} \int_0^t \left(w_1 + \frac{\partial w_1}{\partial z} \int_0^t w_j dt \right) dt \right] + O(\epsilon^3) \end{aligned} \right\} \quad (6)$$

$$\left. \begin{aligned} W &= w_j + \epsilon \left[w_1 + \frac{\partial w_1}{\partial z} \int_0^t w_j dt + \epsilon^2 \left[w_2 + \frac{\partial w_2}{\partial z} \int_0^t \left(u_1 + \frac{\partial u_1}{\partial z} \int_0^t w_j dt \right) dt \right. \right. \\ &\quad \left. \left. + \frac{\partial w_1}{\partial z} \int_0^t w_j dt + \frac{\partial w_1}{\partial z} \int_0^t \left(w_1 + \frac{\partial w_1}{\partial z} \int_0^t w_j dt \right) dt \right] \right] + O(\epsilon^3) \end{aligned} \right\} \quad (7)$$

一方、單一粒子の t 時間後の水平および鉛直方向の速度（軌跡）は、式(6)および(7)を用いて、式(2)から、それだけ式のように表わされる。

$$\left. \begin{aligned} \Delta x &= \epsilon \left[u_1 + \frac{\partial u_1}{\partial z} \int_0^t w_j dt + \epsilon^2 \left[u_2 + \frac{\partial u_2}{\partial z} \int_0^t \left(u_1 + \frac{\partial u_1}{\partial z} \int_0^t w_j dt \right) dt \right. \right. \\ &\quad \left. \left. + \frac{\partial u_1}{\partial z} \int_0^t w_j dt + \frac{\partial u_1}{\partial z} \int_0^t \left(w_1 + \frac{\partial w_1}{\partial z} \int_0^t w_j dt \right) dt \right] \right] + O(\epsilon^3) \end{aligned} \right\} \quad (8)$$

$$\left. \begin{aligned} \Delta z &= \int_0^t w_j dt + \epsilon \left[\left(w_1 + \frac{\partial w_1}{\partial z} \int_0^t w_j dt \right) dt + \epsilon^2 \left[w_2 + \frac{\partial w_2}{\partial z} \int_0^t \left(u_1 + \frac{\partial u_1}{\partial z} \int_0^t w_j dt \right) dt \right. \right. \\ &\quad \left. \left. + \frac{\partial w_1}{\partial z} \int_0^t w_j dt + \frac{\partial w_1}{\partial z} \int_0^t \left(w_1 + \frac{\partial w_1}{\partial z} \int_0^t w_j dt \right) dt \right] dt \right] + O(\epsilon^3) \end{aligned} \right\} \quad (9)$$

以上の式(6)～(9)が、沈降速度を有する單一粒子が流体速度場で運動する場合の速度と軌跡を解析的に求める基礎式である。

3. 重複波動中における解析解

(1) 微小振幅重複波理論による場合

ϵ^2 以上の高次項を微小として省略し、かつ $\epsilon = H/L$ とする。微小振幅重複波理論では、

$$\left. \begin{aligned} u_i &= \pi (\alpha/L) \cdot \left[\cosh k(h+z)/\sinh kh \right] \cdot \sinh kz \cdot \sin \omega t \\ w_j &= -\pi (\alpha/L) \cdot \left[\sinh k(h+z)/\sinh kh \right] \cdot \cosh kz \cdot \sin \omega t \end{aligned} \right\} \quad (10)$$

であるから、これらの式を式(6)～(9)に代入して整理すれば、結局、 ϵ のオーダーまででの浮遊粒子の速度および

軌跡は、それそれ次式のように表わされる。

$$\begin{aligned} D &= (H/L)(\pi a / \sinh kh) \cdot \sinh kx \cdot \sin at \cdot \{\cosh kh(h+z_0)/k \\ &\quad + w_f t \cdot \sinh kh(h+z_0)\} \end{aligned} \quad (11)$$

$$W = -(H/L)(\pi a / \sinh kh) \cdot \cosh kx \cdot \sin at \cdot \{\sinh kh(h+z_0)/k \\ &\quad + w_f t \cdot \cosh kh(h+z_0)\} + w_f \quad (12)$$

$$\begin{aligned} \Delta x &= (H/L) \cdot \{\cosh kh(h+z_0) / \sinh kh\} \cdot \sinh kx \cdot (1 - \cos at) \\ &\quad + (H/L) \cdot w_f \cdot \pi \cdot \{\sinh kh(h+z_0) / \sinh kh\} \cdot \sinh kx \\ &\quad \times (-t \cdot \cos at + \sin at / a) \end{aligned} \quad (13)$$

$$\begin{aligned} \Delta z &= w_f \cdot t + (H/L) \cdot \{\sinh kh(h+z_0) / \sinh kh\} \cdot \cosh kx \cdot (\cos at - 1) \\ &\quad + (H/L) \cdot w_f \cdot \pi \cdot \{\cosh kh(h+z_0) / \sinh kh\} \cdot \cosh kx \\ &\quad \times (t \cdot \cos at - \sin at / a) \end{aligned} \quad (14)$$

(2) 有限振幅複波理論による場合

こでは、有限振幅複波理論の式と次近似解を用いて、式(6)～(9)の ε^2 のオーダーまでの近似解を求める。

いま、(1)の場合と同様にして、 $\varepsilon = H/L$ とすれば、有限振幅複波理論から、 w_f および Δx はそれそれ次式のように与えられる(ただし、(1)は式(10)で与えられている)。

$$\begin{aligned} w_f &= -\frac{3}{8} \pi^2 \frac{a \cosh kh(h+z_0)}{k \cosh 2kh} \cdot (1 - \coth^4 kh) \cdot \sin 2kx \cdot \sin at \\ &\quad - \dots \end{aligned} \quad (15)$$

$$\begin{aligned} \Delta x &= \frac{3}{8} \pi^2 \frac{a \sinh 2k(h+z_0)}{k \cosh 2kh} \cdot (1 - \coth^4 kh) \cdot \cos 2kx \cdot \sin at \\ &\quad - \dots \end{aligned} \quad (16)$$

これら2式と式(10)を式(6)～(9)で示される ε^2 のオーダーまでの各項に代入して整理すれば、任意時刻における、単一粒子の速度成分(D, W)および初期位置からの変位量($\Delta x, \Delta z$)は、結局、次式のように求まる。

$$\begin{aligned} D &= (H/L)(\pi a / \sinh kh) \cdot \sinh kx \cdot \sin at \cdot \{\cosh kh(h+z_0)/k \\ &\quad + w_f t \cdot \sinh kh(h+z_0)\} + (H/L)^2 \cdot (-3/8) \pi^2 a \cdot (1 - \coth^4 kh) / \\ &\quad \cosh 2kh \cdot \sin 2kx \cdot \sin at \cdot \{\cosh kh(h+z_0)/k + 2w_f t \\ &\quad \times \sinh kh(h+z_0)\} + (H/L)^2 \cdot (\pi^2 / 2k) \sinh^2 kh \cdot \sin 2kx \\ &\quad \times \sin 2at \cdot (1 - \cos at) \end{aligned} \quad (17)$$

$$\begin{aligned} W &= -(H/L)(\pi a / \sinh kh) \cdot \cosh kx \cdot \sin at \cdot \{\sinh kh(h+z_0)/k \\ &\quad + w_f t \cdot \cosh kh(h+z_0)\} + (H/L)^2 \cdot (3/8) \pi^2 a \cdot (1 - \coth^4 kh) / \\ &\quad \cosh 2kh \cdot \cos 2kx \cdot \sin at \cdot \{\sinh kh(h+z_0)/k + 2w_f t \\ &\quad \times \cosh kh(h+z_0)\} + (H/L)^2 \cdot (\pi^2 / 2k) \cdot (\sin at / \sinh^2 kh) \cdot (a/k) \\ &\quad \times \sinh kh(h+z_0) \cdot (1 - \cos at) + 2w_f t \cdot [\cosh^2 kh(h+z_0) - \sin^2 kh] \\ &\quad \times (-t \cdot a \cdot \cos at + \sin at)] + w_f \end{aligned} \quad (18)$$

$$\begin{aligned} \Delta x &= (H/L) \cdot \{\cosh kh(h+z_0) / \sinh kh\} \cdot \sinh kx \cdot (1 - \cos at) \\ &\quad + (H/L) \cdot w_f \cdot \pi \cdot \{\sinh kh(h+z_0) / \sinh kh\} \cdot \sinh kx \cdot (-t \cdot \cos at) \\ &\quad + \sin at / a + (H/L)^2 \cdot (3\pi^2 / 16k) \cdot \{(1 - \coth^4 kh) / \cosh 2kh\} \end{aligned}$$

$$\begin{aligned} &\times \sin 2kx \cdot \{\cosh 2kh(h+z_0) \cdot (\cos 2at - 1) + 2k w_f\} \\ &\times \sinh 2kh(h+z_0) \cdot (t \cos 2at - \sin 2at / a) \\ &\quad + (H/L)^2 \cdot \{\pi^2 \sin 2kx / (8k \sinh^2 kh)\} \cdot \sinh kx \\ &\quad \times (-4 \cos at + \cos 2at + 3) \end{aligned} \quad (19)$$

$$\begin{aligned} \Delta z &= w_f \cdot t + (H/L) \cdot \{\sinh kh(h+z_0) / \sinh kh\} \cdot \cosh kx \\ &\quad \times (\cos at - 1) + (H/L) \cdot w_f \cdot \pi \cdot \{\cosh kh(h+z_0) / \sinh kh\} \\ &\quad \times \cosh kx \cdot (t \cdot \cos at - \sin at / a) + (H/L)^2 \cdot (3/16) \cdot (\pi^2 / k) \\ &\quad \times \{(1 - \coth^4 kh) / \cosh 2kh\} \cdot \cos 2kx \cdot \{\sinh 2kh(h+z_0) \\ &\quad \times (1 - \cos 2at) + 2k w_f \cdot \cosh 2kh(h+z_0) \cdot (-t \cdot \cos at \\ &\quad + \sin 2at / a)\} + (H/L)^2 \cdot (\pi^2 / 8ka) \cdot (Y \sinh^2 kh) \\ &\quad \times (a \cdot \sinh 2kh(h+z_0) \cdot (-4 \cos at + \cos 2at + 3) + w_f \cdot k \\ &\quad \times \{\cosh^2 kh(h+z_0) - \sin^2 kh\} \cdot (2at \cdot \cos 2at \\ &\quad - 3 \sin 2at + 4at) \end{aligned} \quad (20)$$

式中の——線部分が(1)で述べた微小振幅複波理論による場合の結果である。

4. 計算結果と従来の結果との比較

以上の解析的手法による結果と、従来の差分法による結果や実験結果と比較したのが図-1(1), (2)である。これらの図から明らかなように、節間隔を除けば、両計算手法による差異がかなり著しく、また用いる運動理論によって若干の差異が見られる。これは、單一粒子の運動の変位量が、Taylor 展開による近似式の適用限界をこえていくことによるものと考えられる。なお、式(6)～(9)の基本式の説導は、野田英明教授(鳥取大)によると: これが 79 年、ここに記して謝意を表します。

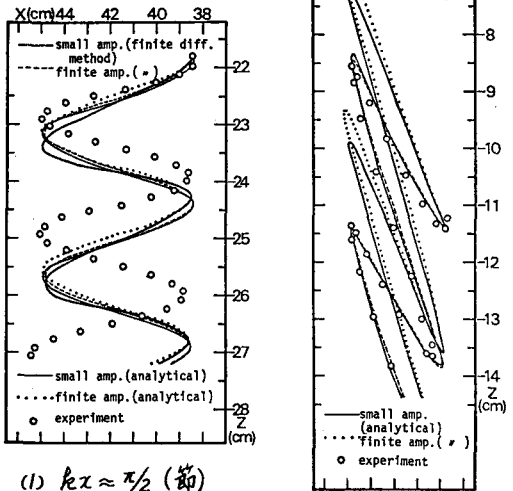


図-1 漂遊粒子の軌跡の比較

(2) $kx \approx 3\pi/4$